



دانشگاه کردستان
دانشکده فنی مهندسی
گروه برق

عنوان:

طراحی و ساخت یک اینورتر سه فاز برای کنترل دور موتور الکتری

پژوهشگر:

داور گله‌دار

استاد راهنما:

دکتر رحمت‌ا... میرزا‌ای

پایان نامه کارشناسی ارشد رشته برق گرایش قدرت

آسفند ماه ۱۳۸۹



دانشگاه کردستان
دانشکده فنی و مهندسی
گروه برق

پایان نامه کارشناسی ارشد رشته برق گرایش قدرت

عنوان:

طراحی و ساخت یک اینورتر سه‌فاز برای کنترل دور موتور الکایی

پژوهشگر:
داور گله‌دار

در تاریخ ۱۳۸۹/۱۲/۱۶ توسط کمیته تخصصی و هیات داوران زیر مورد بررسی قرار گرفت و با نمره.....و

درجه به تصویب رسید.

همایش داوران	نام و نام خانوادگی	مرتبه علمی	امضاء
۱- استاد راهنمای	دکتر رحمت‌ا... میرزایی	استادیار	
۲- استاد داور خارجی	دکتر رضا قندهاری	استادیار	
۳- استاد داور داخلی	دکتر حسن بیورانی	استادیار	

مهر و امضاء معاون آموزشی و تحصیلات تكمیلی دانشکده
 مهر و امضاء گروه

* * * تعهد نامه *

اینجانب داور گله‌دار دانشجوی کارشناسی ارشد رشته برق گرایش قدرت دانشگاه کردستان،
دانشکده فنی مهندسی گروه برق تعهد می‌نماییم که محتوای این پایان نامه نتیجه تلاش و تحقیقات خود
بوده و از جایی کپی برداری نشده و به پایان رسانیدن آن نتیجه تلاش و مطالعات مستمر اینجانب و
راهنمایی و مشاوره استاد بوده است.

با تقدیم احترام

داور گله‌دار

۱۳۸۹/۱۲/۱۶

تقدیم به

روح پدرم، که سرشتم از اوست

و

مادر، تنها دلیل برای زنده بودن

و

خانواده مهربانم

و

استقلال، آبی ترین عشق

سپاس و قدرانی

در پایان بر خود لازم می‌دانم از زحمات استاد متین و گرامیم جناب آقای دکتر رحمت‌ا... میرزاچی که در تمامی مراحل این پایان‌نامه همواره از هر لحظه اینجانب را حمایت و راهنمائی نمودند، کمال تشکر را داشته باشم و برای مهندس مجید کنڑی که بی‌دریغ تمامی اطلاعات گرانبهای خود را در اختیار این حقیر گذاشت، آرزوی توفیق و سلامتی دارم. همچنین از مسئولین آزمایشگاه ماشین بخصوص آقای سبحانی به خاطر همکاری در این پروژه ساخت سپاسگزارم.

بدین وسیله از دوست دیرین فرشاد خاوری و سایر دوستانم علیپور، حمیدی، بردبار، مام‌شریفی، عباسی، خندان و امینی عزیزم که در این سال‌ها در کردستان اینجانب را تحمل نمودند، کمال تشکر را داشته و بهترین آرزوها را از بارگاه خداوند منان برای تک‌تک شان خواستارم.

چکیده

امروزه با توجه به پیشرفتهایی که صنعت برق داشته، روز به روز تجهیزات جدید در زمینه‌های مختلف ارائه می‌شود. یکی از تجهیزات که در سال‌های اخیر پیشرفت زیادی داشته، ادوات و تجهیزات الکترونیک قدرت می‌باشد. این ادوات کاربردهای زیادی در مبدل‌ها، منابع تغذیه سوئیچینگ و دیگر تجهیزات دارند. علیرغم محسن زیاد این تجهیزات، مشکلاتی مانند ایجاد نویز، تولید هارمونیک و ضربی قدرت پایین نیز دارا می‌باشند. بخشی از این مشکلات با ارائه روش‌های کنترلی مناسب قابل بهبود هستند. با توجه به معایب زیاد کنترلهای آنالوگ و پیشرفتهای علم دیجیتال، نسل جدید کنترلهای دیجیتال مانند میکروکنترلر، FPGA و DSP نقش تعیین کننده‌ای در کنترل ادوات الکترونیک قدرت ایفا می‌کند. کنترل و پیاده‌سازی آسان و در عین حال دقت و سرعت پردازش بالا از جمله مزایای مهم کنترلهای دیجیتال می‌باشند. به همین دلیل در این پژوهه از نسل جدید پردازنده‌های FPGA برای کنترل دور یک موتور القایی استفاده شده است. بدین منظور یک اینورتر ولتاژ به همراه مژول‌های مختلف ساخته شده است و در قسمت کنترلی نیز نیاز به پیاده‌سازی روش‌ها و الگوریتم‌های مختلفی مانند روش PWM و روش موج مربعی یکی از انگیزه‌های دیگر این تحقیق می‌باشد. در انتها نیز نتایج شبیه‌سازی و نتایج عملی ارائه شده است و تحلیل فرکانسی خروجی‌ها نیز در نرم‌افزار مطلب انجام شده است.

کلمات کلیدی: اینورتر ولتاژ، موتور القایی، کنترلر FPGA، روش SVPWM و کنترل دیجیتال

فهرست مطالب

صفحه

عنوان

۱	فصل اول (مروری اجمالی بر ساختمان و عملکرد موتور القایی)
۲	۱-۱- ساختمان موتور القایی
۴	۱-۲- عملکرد موتور القایی
۷	۱-۳- راه اندازی موتور القایی
۷	۱-۴- به طور مستقیم
۸	۱-۵- توسط کلید یا مدار ستاره- مثلث
۸	۱-۶- توسط کمپانساتور
۸	۱-۷- اضافه کردن مقاومت در مدار روتور
۹	۱-۸- اضافه کردن مقاومت در مدار استاتور
۱۰	فصل دوم (روشهای کنترل دور موتور القایی و ساختار اینورترها)
۱۲	۱-۱- اهمیت ثبات شار فاصله هوایی در موتور القایی
۱۴	۱-۲- روشهای کنترل دور موتور القایی
۱۴	۱-۳- تغییر ولتاژ استاتور
۱۵	۱-۴- تغییر ولتاژ استاتور و تغییر فرکانس استاتور
۱۷	۱-۵- روش موج مربعی
۲۱	۱-۶- روش PWM
۳۰	۱-۷- تغییر جریان استاتور و تغییر فرکانس استاتور
۳۲	۱-۸- کنترل شار و سرعت با اینورتر جریان
۳۳	۱-۹- کنترل نسبت V/F ثابت با اینورتر جریان
۳۵	۱-۱۰- روشهای کنترلی مرسوم و پر کاربرد کنترل دور موتور القایی
۳۵	۱-۱۱- کنترل برداری
۴۱	۱-۱۲- روش کنترلی V/F ثابت
۴۴	۱-۱۳- کنترل حلقه بسته با تخمین شار و گشتاور
۴۵	۱-۱۴- کنترل حلقه بسته با جریان سه فاز استاتور
۴۶	فصل سوم (مقدمه‌ای بر کنترل دیجیتال و مشخصات کنترلر FPGA)
۴۸	۱-۱- سیگنالهای زمان گستته
۴۹	۱-۲- تبدیل Z و خواص آن
۵۱	۱-۳- ساختار و کارکرد مدارات کنترل دیجیتال

۵۲FPGA-۴-۳- ساختار برد
۵۳FPGA-۴-۳-۱- پردازنده
۵۳FPGA-۴-۳-۲- منبع تغذیه برد
۵۴FPGA-۴-۳-۳- پالسهای ساعت برد
۵۵FPGA-۴-۳-۴- مبدل آنالوگ به دیجیتال
۵۶FPGA-۴-۳-۵- مبدل دیجیتال به آنالوگ
۵۷I/O-۴-۳-۶- پورتهای
۵۸۵-۳- مختصری در مورد سیستم اعداد
۶۲فصل چهارم (مراحل طراحی و ساخت مدار اینورتر).....۴
۶۳۴-۱- مدار قدرت
۷۱۴-۲- مدار کنترل
۷۴فصل پنجم (شیوه‌سازی و نتایج آزمایشگاهی)
۷۶۵-۱- نرمافزار کنترلر FPGA
۷۶۵-۲- روش کنترلی V/F ثابت
۷۸۵-۲-۱- پیاده سازی با روش PWM
۸۴۵-۲-۲- پیاده سازی با روش موج مربعی و مقایسه با روش PWM
۸۸۵-۳- بررسی تاثیر مساله Dead Time بر اینورترهای ولتاژ
۹۲نتیجه گیری
۹۵مراجع

فهرست اشکال

۲ شکل ۱-۱: تصویری از یک موتور القایی
۶ شکل ۱-۲: مدار معادل تقریبی موتور القایی
۷ شکل ۱-۳: مشخصه گشتاور-لغزش موتور القایی
۱۲ شکل ۲-۱: منحنی ولتاژ و فرکانس
۱۳ شکل ۲-۲: دسته منحنی های سرعت-گشتاور با شار هوایی ثابت
۱۴ شکل ۲-۳: حالت های کاری مختلف موتور
۱۵ شکل ۲-۴: مدار روش تغییر ولتاژ استاتور
۱۶ شکل ۲-۵: مدار یک اینورتر
۱۷ شکل ۲-۶: مدار روش کنترلی موج مربعی
۱۸ شکل ۲-۷: پالس های روش موج مربعی با هدایت ۱۲۰ درجه
۱۹ شکل ۲-۸: ولتاژ خروجی اینورتر در فرکانس های مختلف با روش موج مربعی
۱۹ شکل ۲-۹: مدار فیلتر سه فاز خروجی اینورتر
۲۰ شکل ۲-۱۰: مدار فیلتر سه فاز همراه با اینورتر ولتاژ
۲۰ شکل ۲-۱۱: ولتاژ خروجی (الف) ولتاژ خروجی اینورتر بدون فیلتر (ب) ولتاژ خروجی اینورتر با قرار دادن فیلتر
۲۱ شکل ۲-۱۲: مدار اینورتر ولتاژ در روش PWM
۲۳ شکل ۲-۱۳: روش تولید پالس برای یک فاز در روش PWM سینوسی
۲۵ شکل ۲-۱۴: شکل فضائی بردارهای Space Vector
۲۶ شکل ۲-۱۵: نواحی مختلف و ولتاژ مرجع در روش Space Vector
۲۷ شکل ۲-۱۶: ولتاژ مرجع در بخش اول
۲۸ شکل ۲-۱۷: تولید پالس های SVPWM در ناحیه های کاری مختلف
۲۹ شکل ۲-۱۸: مقایسه ولتاژ ماکسیمم دو روش SVPWM PWM سینوسی و روش SVPWM
۳۰ شکل ۲-۱۹: ساده ترین مدار برای تغییر فرکانس و جریان استاتور
۳۱ شکل ۲-۲۰: مشخصه گشتاور-سرعت روش کنترل جریان و فرکانس استاتور

شکل ۲-۲۱: بلوک دیاگرام کنترل شار و سرعت در حالت حلقه بسته با تغییرات جریان و فرکانس استاتور.....	۳۲
شکل ۲-۲۲: روش کنترلی V/F ثابت با کنترل جریان و فرکانس استاتور.....	۳۳
شکل ۲-۲۳: مدار معادل تقریبی موتور القایی	۳۵
شکل ۲-۲۴: دیاگرام فازوری موتور القایی.....	۳۶
شکل ۲-۲۵: بلوک دیاگرام روش کنترل برداری.....	۳۷
شکل ۲-۲۶: دیاگرام فازوری تبدیلات جریانها به محورهای ساکن.....	۳۷
شکل ۲-۲۷: دیاگرام فازوری تبدیل از فریم استاتور به فریم مرجع.....	۳۸
شکل ۲-۲۸: مدار معادل محورهای موتور به صورت تفکیک شده از هم.....	۳۹
شکل ۲-۲۹: بلوک دیاگرام کلی روش کنترل برداری.....	۴۰
شکل ۲-۳۰: بلوک دیاگرام روش کنترلی V/F ثابت در حالت حلقه باز.....	۴۱
شکل ۲-۳۱: مشخصه گشتاور- سرعت موتور در روش کنترلی V/F ثابت	۴۲
شکل ۲-۳۲: بلوک دیاگرام روش کنترلی V/F ثابت در حالت حلقه بسته.....	۴۲
شکل ۲-۳۳: بلوک دیاگرام کنترل حلقه بسته با تخمین شار و گشتاور	۴۳
شکل ۲-۳۴: بلوک دیاگرام کنترل حلقه بسته با تغییرات جریانهای استاتور.....	۴۴
شکل ۳-۱: مدار نمونه بردار و نگه دار	۴۷
شکل ۳-۲: بلوک دیاگرام کلی برد FPGA.....	۵۱
شکل ۳-۳: شبکه پالس ساعت برد FPGA	۵۳
شکل ۳-۴: نحوه کد کردن یک عدد ۴ بیتی به صورت علامت دار و بدون علامت	۵۸
شکل ۳-۵: نحوه کد شدن اعداد در بازه [۱، -۱].....	۵۹
شکل ۳-۶: نحوه کد شدن اعداد در محدوده (۱، ۱) به صورت خطی.....	۵۹
شکل ۳-۷: بیت علامت و نحوه نمایش اعداد در محدوده [۰، ۲]	۶۰
شکل ۴-۱: تصویری از PM25RSB120	۶۳
شکل ۴-۲: مدار داخلی PM25RSB120	۶۵
شکل ۴-۳: فیلتر خروجی در حالت تک فاز.....	۶۶

..... شکل ۴-۴: شکل و ابعاد مکانیکی هسته EE110	۶۸
..... شکل ۴-۵: مشخصه خروجی سنسور LTS25NP	۷۰
..... شکل ۴-۶: تصویری از برد کنترلی همراه با IPM	۷۱
..... شکل ۵-۱: مدار شبیه سازی شده در نرم افزار	۷۷
..... شکل ۵-۲: نتایج ولتاژ و جریان شبیه سازی	۷۸
..... شکل ۵-۳: بلوک های کنترلی پیاده سازی شده در FPGA	۷۸
..... شکل ۵-۴: شکل موج مثلثی Space Vector (الف) برای فرکانس 9.8KHz (ب) برای فرکانس 4.9KHz	۸۰
..... شکل ۵-۵: پالس های دو فاز مختلف اینورتر (الف) برای فرکانس 9.8KHz (ب) برای فرکانس 4.9KHz	۸۰
..... شکل ۵-۶: پالس های دو سوئیچ بالا و پایین با تاخیر $2.5\mu s$ در فرکانس سوئیچینگ 9.8 KHz	۸۰
..... شکل ۵-۷: ولتاژ خط خروجی (الف) برای فرکانس 9.8KHz (ب) برای فرکانس 4.9KHz	۸۱
..... شکل ۵-۸: جریان موتور (الف) برای فرکانس 9.8KHz (ب) برای فرکانس 4.9KHz	۸۱
..... شکل ۵-۹: تحلیل فرکانسی جریان موتور (الف) فرکانس سوئیچینگ 9.8 KHz (ب) فرکانس سوئیچینگ 4.9 KHz	۸۲
..... شکل ۵-۱۰: شماتیک مداری روش موج مربعی با هدایت ۱۲۰ درجه در نرم افزار PSIM	۸۳
..... شکل ۵-۱۱: شکل موج ولتاژ و جریان موتور در نرم افزار PSIM	۸۴
..... شکل ۵-۱۲: پیاده سازی روش موج مربعی در کنترلر FPGA	۸۵
..... شکل ۵-۱۳: ولتاژ خروجی (الف) برای روش موج مربعی (ب) برای روش SVPWM	۸۵
..... شکل ۵-۱۴: جریان موتور (الف) برای روش موج مربعی (ب) برای روش SVPWM	۸۶
..... شکل ۵-۱۵: تحلیل فرکانسی جریان موتور (الف) برای روش موج مربعی (ب) برای روش SVPWM	۸۶
..... شکل ۵-۱۶: تاخیر $3\mu s$ بین پالسها (الف) برای فرکانس 9.8KHz (ب) برای فرکانس 4.9KHz	۸۸
..... شکل ۵-۱۷: تاخیر $4\mu s$ بین پالسها (الف) برای فرکانس 9.8KHz (ب) برای فرکانس 4.9KHz	۸۸
..... شکل ۵-۱۸: تاخیر $5\mu s$ بین پالسها (الف) برای فرکانس 9.8KHz (ب) برای فرکانس 4.9KHz	۸۹
..... شکل ۵-۱۹: شکل موج ولتاژ خروجی اینورتر	۸۹

فهرست جداول

جدول ۲-۱: ولتاژ فاز و خط در حالت‌های مختلف سوئیچینگ	۲۵
جدول ۳-۱: مشخصات Cyclone FPGA	۵۳
جدول ۳-۲: مشخصات مبدل آنالوگ به دیجیتال	۵۶
جدول ۳-۳: مشخصات مبدل دیجیتال به آنالوگ	۵۷
جدول ۴-۱: اطلاعات اولیه طراحی برد	۶۳
جدول ۴-۲: مشخصات کلی PM25RSB120	۶۵
جدول ۴-۳: مشخصات سلف طراحی شده	۶۸
جدول ۴-۴: اطلاعات لازم برای طراحی سلف	۶۹
جدول ۵-۱: پارامترهای موتور القابی تحت تست	۷۷
جدول ۵-۲: پارامترهای طراحی مدار	۷۸
جدول ۵-۲: محاسبه درصد THD برای جریان موتور در دو فرکانس سوئیچینگ تست شده	۸۳
جدول ۵-۳: محاسبه درصد THD برای جریان موتور برای دور روش موج مربعی و SVPWM	۸۷
جدول ۵-۴: مقادیر THD برای تاخیرهای مختلف در فرکانس 4.9KHz	۹۰
جدول ۵-۵: مقادیر THD برای تاخیرهای مختلف در فرکانس 9.8KHz	۹۰

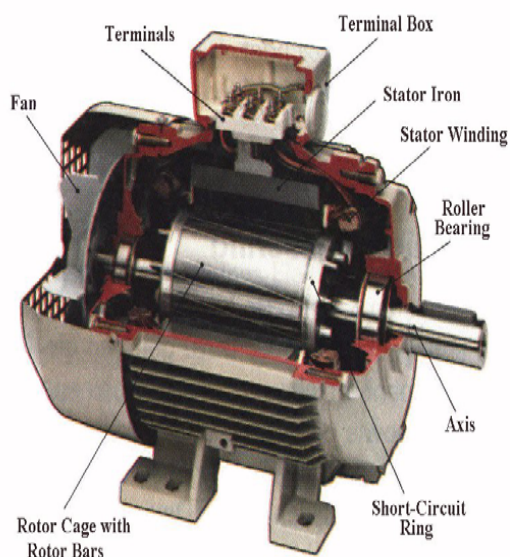
فصل اول

مرواری اجمالي بر ساختمان و عملکرد موتور القایی

۱-۱- ساختمان موتور القایی

مотор القایی از دو قسمت اصلی تشکیل شده است:

قسمت ساکن که استاتور نامیده می‌شود و قسمت دیگر که بخش چرخان موتور است و روتور می‌باشد. استاتور موتور القایی سه‌سیم پیچی معمولی است، که در شیارهای سه فاز استاتور قرار می‌گیرد و می‌تواند براساس شرایط مدار راه‌اندازی به صورت ستاره یا مثلث بسته شود و تغذیه سه فاز ورودی نیز به استاتور موتور القایی اعمال می‌شود [۱ و ۲].



شکل ۱-۱: تصویری از یک موتور القایی

برخلاف استاتور، روتور موتور القایی دارای دو کلاس بندی می‌باشد:

۱) روتور سیم پیچی شده

زمانی که مقاومت سر راه روتور قابل تغییر باشد، روتور را سیم پیچی شده می‌نامند. یکی از کاربردهای این نوع روتورها در موقعیت‌هایی است که به سرعت متغیر نیاز است. در این روتورها سیم پیچ روتور طوری پیچیده شده که تعداد قطب‌ها در روتور و استاتور برابر هستند و خروجی هر فاز از روتور به طور جداگانه و به وسیله حلقه‌های لغزنه از موتور خارج شده است. این حلقه‌های لغزنه ارتباط الکتریکی خود با محور موتور را معمولاً به وسیله کربن ایجاد می‌کنند و پس از خارج شدن از موتور به یک مقاومت متغیر خارجی وصل می‌شوند.

در مقایسه با موتورها روتور قفسی، موتورهای روتور سیم پیچی شده گران‌تر هستند و به علت استهلاک حلقه‌های لغزان دارای هزینه تعمیر و نگهداری بالاتری نیز هستند. قبل از تولید تجهیزات کنترل سرعت الکترونیکی این موتورها، بهترین راه برای کنترل سرعت بودند و همچنین این موتورها می‌توانند در لحظه شروع به کار گشتاور بالاتری داشته باشند. استفاده از کنترل کننده‌های ترانزیستوری فرکانس، راهی مناسب برای کنترل دور موتورهای جریان متناوب است و این از تمایل برای استفاده از موتورهای روتور سیم پیچی کاسته است.

۲) روتور قفس سنجابی^۱

بیشتر موتورهای جریان متناوب از این نوع روتورها استفاده می‌کنند، به طوری که می‌توان گفت همه موتورهای خانگی و موتورهای سبک صنعتی از این نوع روتورها استفاده می‌کنند. روتور قفسی یا قفس سنجابی نام خود را به خاطر شکلش گرفته، دو رینگ در دو انتهای روتور که به وسیله میله‌هایی به هم

¹ Squirrel Cage Rotor

وصل شده‌اند، شکلی تقریباً شبیه یک قفس تشکیل می‌دهند. این میله‌ها عموماً از جنس آلミニوم یا مس هستند و در بین ورقه‌های لایه لایه شده فولادی ریخته شده‌است. بیشتر جریان القا شده در روتور از میان این میله‌ها عبور می‌کند چراکه ورقه‌ای لایه لایه فولادی به علت لاكزنی شدن دارای مقاومت الکتریکی زیادی هستند. ولتاژ ایجاد شده در بین حلقه‌ها بسیار پایین است، اما جریان جاری بسیار زیاد است و این به دلیل مقاومت پایین این میله‌هاست. در موتورهایی که راندمان بالاتری دارند، به دلیل اینکه مقاومت الکتریکی این فلز کمتر است از مس برای تولید روتور استفاده می‌شود[۱].

۱-۲- عملکرد موتور القایی

وقتی که استاتور یک موتور القایی را به یک منبع ولتاژ سه فاز وصل می‌شود و جریان از سیم پیچهای استاتور عبور می‌کند شار تولید شده در سیم پیچهای استاتور باعث ایجاد یک میدان دوار در فاصله هوایی می‌شود، سرعت این میدان دوار که سرعت سنکرون نامیده می‌شود از رابطه زیر تعیت می‌کند[۳ و ۴]:

$$\omega_s = \frac{2\omega}{P} \quad (1-1)$$

که در این رابطه P تعداد قطب‌های سیم‌پیچی به ازای هر فاز است و ω فرکانس منبع تغذیه با واحد رادیان بر ثانیه می‌باشد.

با فرض اینکه ولتاژ هر فاز استاتور با رابطه زیر برابر باشد:

$$U_s = \sqrt{2} v_s \sin \omega t \quad (2-1)$$

شار تولید شده از این ولتاژ از رابطه ۱-۳ حاصل می‌شود:

$$\phi(t) = \Phi_m \cos(\omega_m t + \delta - \omega_s t) \quad (3-1)$$

حال، با توجه به تزویج شار در سیم پیچی روتور، ولتاژ هر فاز روتور از رابطه زیر بدست می آید:

$$e_r = N_r \frac{d\phi}{dt} = N_r \frac{d}{dt} [\Phi_m \cos(\omega_m t + \delta - \omega_s t)] \quad (4-1)$$

$$e_r = -N_r \Phi_m (\omega_s - \omega_m) \sin[(\omega_s - \omega_m)t - \delta] \quad (5-1)$$

$$e_r = -s E_s \sin(s\omega_s t - \delta) \quad (6-1)$$

$$e_r = -s\sqrt{2} E_r \sin(s\omega_s t - \delta) \quad (7-1)$$

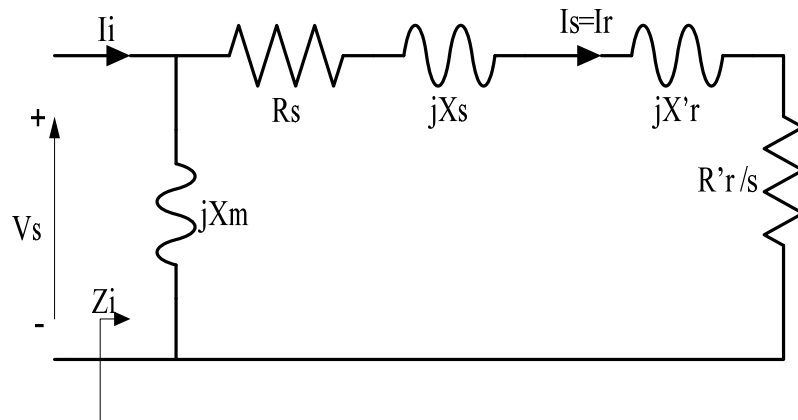
که در رابطه بالا N_r تعداد چرخش‌های هر فاز روتور، ω_m سرعت زاویه‌ای روتور، δ موقعیت نسبی روتور، E_r مقدار موثر ولتاژ هر فاز روتور می‌باشد و S پارامتری مهم به نام لغزش^۱ می‌باشد که از رابطه

زیر برای موتور القایی تعریف می‌شود[۳]:

$$S = \frac{(\omega_s - \omega_r)}{\omega_s} \quad (8-1)$$

بنابراین با توجه به روابط بالا مدار معادل تقریبی هر فاز موتور القایی را می‌توانیم مطابق شکل ۲-۱ ترسیم کنیم. در این شکل R_s و X_s به ترتیب مقاومت و رکتانس هر فاز استاتور و R_r مقاومت هر فاز رتور و X_m رکتانس مغناطیسی هسته و X'_r رکتانس هر فاز روتور در فرکانس تغذیه می‌باشد.

^۱ Slip



شکل ۱-۲: مدار معادل تقریبی موتور القایی [۳]

با توجه به مدار معادل تقریبی موتور می‌توان مقاومت ظاهری دیده شده از دو سر استاتور را می‌توان از

رابطه زیر محاسبه کرد:

$$Z_i = \frac{-X_m(X_s + X'_r) + jX_m(R_s + \frac{R'_r}{s})}{R_s + j(X_m + X_s + X'_r) + \frac{R'_r}{s}} \quad (9-1)$$

با توجه به اینکه $X_m \gg R_s + jX_s$ فرض کرد و در این حالت جریان رتور نیز از

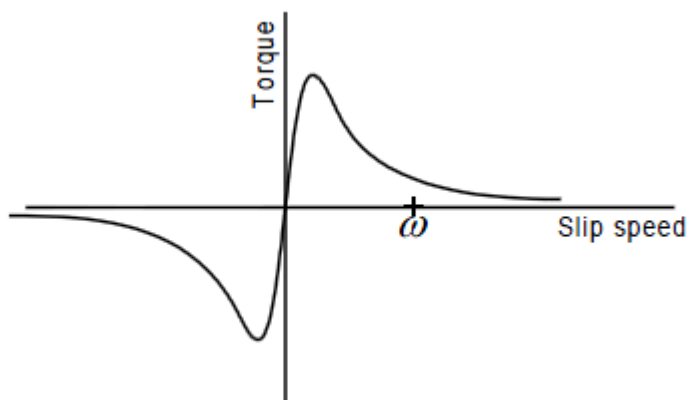
رابطه زیر حاصل می‌شود:

$$I_r = \frac{V_s}{\sqrt{\left(R_s + \frac{R'_r}{s}\right)^2 + (X_s + X'_r)^2}} \quad (10-1)$$

بنابراین می‌توانیم گشتاور موتور القایی را برای حالت سه‌فاز از رابطه زیر محاسبه کنیم:

$$T_{3\phi} = \frac{3R_s V_s^2}{s \omega_s \left[\left(R_s + \frac{R'_r}{s} \right)^2 + (X_s + X'_r)^2 \right]} \quad (11-1)$$

با توجه به روابط بالا می‌توان نمودار گشتاور-لغزش موتور القایی مطابق شکل ۱-۳ ترسیم کرد.



شکل ۱-۳: مشخصه گشتاور-لغزش موتور القایی [۵]

۱-۲- راه اندازی موتور القایی

در قسمت قبلی روابط و مدار معادل موتور القایی را بدست آمد و با توجه به اینکه به هنگام راه اندازی لغزش موتور برابر با صفر است طبق رابطه ۱-۱ در راه اندازی موتور القایی جریان موتور چندین برابر جریان نامی^۱ موتور می باشد و این جریان زیاد علاوه بر اینکه به خود موتور صدمه می زند، به مصرف کننده های دیگری که از این خط مشترک تغذیه می شوند لطمہ زده و کار آنها را مختل می سازد. موتورهای القایی با توجه به قدرت و ولتاژ آن به طرق مختلف راه اندازی می شوند. موتور القایی معمولاً به روشهای زیر راه اندازی می شود، تا جریان راه اندازی کاهش یابد:

۱-۲-۱- به طور مستقیم

برای موتورهایی که بزرگ نیستند و آمپر زیادی از شبکه نمی کشند بوسیله یک کلید سه قطبی به

شبکه متصل می شوند[۱].

¹ Rated